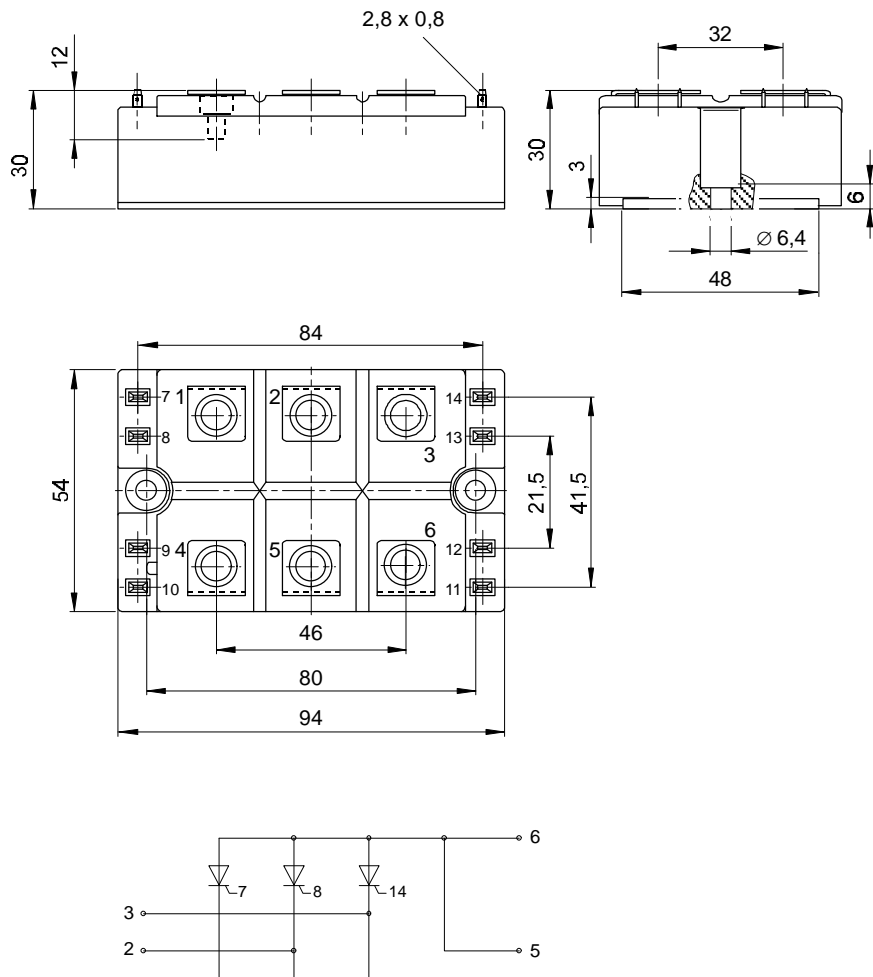


European Power-
Semiconductor and
Electronics Company

Marketing Information TD B6HK 205 N 10...16 (ISOPACK)



Netz-Thyristor-Modul

TD B6HK 205 N 10...16

Phase Control Thyristor Module

		vorläufige Daten preliminary data		
Elektrische Eigenschaften	Electrical properties	V_{RRM}	1000	1200 V
Höchstzulässige Werte	Maximum rated values	V_{DSM}	1000	1200 V
Periodische Vorwärts- und Rückwärts-Vorwärts-Stoßspitzen-Sperrspannung	repetitive peak forward off-state and $T_{vj} = -40^\circ\text{C} \dots T_{vj,\text{max}}$	V_{RSM}	1100	1300 V
Rückwärts-Stoßspitzen-Sperrspannung	non-repetitive peak forward off-state $T_{vj} = +40^\circ\text{C} \dots T_{vj,\text{max}}$	I_{FRMSM}		120 A
Durchlaßstrom-Grenzeffektivwert	non-repetitive peak reverse voltage $T_{vj} = +25^\circ\text{C} \dots T_{vj,\text{max}}$	I_d		205 A
Ausgangsstrom	RMS forward current	$T_C = 85^\circ\text{C}$		208 A
	output current	$T_C = 84^\circ\text{C}$		55 A
		$T_A = 45^\circ\text{C}, \text{KM 11}$		82 A
		$T_A = 45^\circ\text{C}, \text{KM 33}$		153 A
		$T_A = 35^\circ\text{C}, \text{KM 14} (V_L = 45\text{l/s})$		186 A
		$T_A = 35^\circ\text{C}, \text{KM 33} (V_L = 90\text{l/s})$		1600 A
Stoßstrom-Grenzwert	surge forward current	$T_{vj} = 25^\circ\text{C}, t_p = 10\text{ms}$	I_{FSM}	1375 A
Grenzlastintegral	$I^2 t$ -value	$T_{vj} = T_{vj,\text{max}}, t_p = 10\text{ms}$	$I^2 t$	$12800 \text{ A}^2\text{s}$
Kritische Stromsteilheit	critical rate of rise of on-state current	$T_{vj} = 25^\circ\text{C}, t_p = 10\text{ms}$	$(di/dt)_{cr}$	$9450 \text{ A}^2\text{s}$
Kritische Spannungssteilheit	critical rate of rise of off-state voltage	$T_{vj} = T_{vj,\text{max}}, t_p = 10\text{ms}$	$(dv/dt)_{cr}$	$120 \text{ A}/\mu\text{s}$
		8. Kennbuchstabe / 8th letter F		$1000 \text{ V}/\mu\text{s}$
Charakteristische Werte	Characteristic values			
Durchlaßspannung	forward voltage	$T_{vj} = T_{vj,\text{max}}, i_T = 200\text{A}$	V_F	max. $1,64 \text{ V}$
Schleusenspannung	threshold voltage	$T_{vj} = T_{vj,\text{max}}$	$V_{(TO)}$	$0,95 \text{ V}$
Ersatzwiderstand	forward slope resistance	$T_{vj} = T_{vj,\text{max}}$	r_T	$2,2 \text{ m}\Omega$
Zündstrom	gate trigger current	$T_{vj} = 25^\circ\text{C}, V_D = 6\text{V}$	I_{GT}	max. 150 mA
Zündspannung	gate trigger voltage	$T_{vj} = 25^\circ\text{C}, V_D = 6\text{V}$	V_{GT}	max. $2,5 \text{ V}$
Nicht zündender Steuerstrom	gate non-trigger current	$T_{vj} = T_{vj,\text{max}}, V_D = 6\text{V}$	I_{GD}	max. $5,0 \text{ mA}$
		$T_{vj} = T_{vj,\text{max}}, V_D = 0,5 V_{DRM}$		max. $2,5 \text{ mA}$
Nicht zündende Steuerspannung	gate non-trigger voltage	$T_{vj} = T_{vj,\text{max}}, V_D = 0,5 V_{DRM}$	V_{GD}	max. $0,2 \text{ V}$
Haltestrom	holding current	$T_{vj} = 25^\circ\text{C}, V_D = 6\text{V}, R_A = 5\Omega$	I_H	max. 200 mA
Einraststrom	latching current	$T_{vj} = 25^\circ\text{C}, V_D = 6\text{V}, R_{GK} \geq 20\Omega$	I_L	max. 600 mA
Vorwärts- und Rückwärts-Sperrstrom	forward off-state and reverse currents	$i_{GM} = 0,6\text{A}, di_G/dt = 0,6\text{A}/\mu\text{s}, t_g = 10\mu\text{s}$	i_D, i_R	max. 20 mA
Zündverzug	gate controlled delay time	$V_D = V_{DRM}, V_R = V_{RRM}$	t_{gd}	max. $1,2 \mu\text{s}$
Freiwerdezeit	circuit commutated turn-off time	$DIN IEC 747-6$		
		$T_{vj} = 25^\circ\text{C}, i_{GM} = 0,6\text{A}, di_G/dt = 0,6\text{A}/\mu\text{s}$		
		$T_{vj} = T_{vj,\text{max}}, i_{TM} = 50\text{A}$	t_q	typ. $120 \mu\text{s}$
		$V_{RM} = 100\text{V}, V_{DM} = 0,67 V_{DRM}$		
		$d_{VD}/dt = 20\text{V}/\mu\text{s}, -di_T/dt = 10\text{A}/\mu\text{s}$		
		7. Kennbuchstabe / 7th letter O		
Isolations-Prüfspannung	insulation test voltage	RMS, $f = 50\text{Hz}, t = 1\text{min}$	V_{ISOL}	$3,0 \text{ kV}$
		RMS, $f = 50\text{Hz}, t = 1\text{sec}$		$3,6 \text{ kV}$
Thermische Eigenschaften	Thermal properties			
Innerer Wärmewiderstand	thermal resistance, junction to case	pro Modul / per module, $\Theta = 120^\circ\text{rect}$	$R_{th,JC}$	max. $0,068 \text{ }^\circ\text{C/W}$
		pro Element / per chip, $\Theta = 120^\circ\text{rect}$		max. $0,410 \text{ }^\circ\text{C/W}$
		pro Modul / per module, DC		max. $0,057 \text{ }^\circ\text{C/W}$
		pro Element / per chip, DC		max. $0,340 \text{ }^\circ\text{C/W}$
Übergangs-Wärmewiderstand	thermal resistance, case to heatsink	pro Modul / per module	$R_{th,CK}$	max. $0,033 \text{ }^\circ\text{C/W}$
		pro Element / per chip		max. $0,200 \text{ }^\circ\text{C/W}$
Höchstzul. Sperrschiichttemperatur	max. junction temperature	$t_{vj,\text{max}}$		$125 \text{ }^\circ\text{C}$
Betriebstemperatur	operating temperature	$t_c \text{ op}$		$-40 \dots +125 \text{ }^\circ\text{C}$
Lagertemperatur	storage temperature	t_{stg}		$-40 \dots +130 \text{ }^\circ\text{C}$
Mechanische Eigenschaften	Mechanical properties			
Si-Elemente mit Lötkontakt	Si-pellet with soldered contact			
Innere Isolation	internal insulation			Al_2O_3
Anzugsdrehmoment für mechanische	mounting torque	Toleranz / tolerance $\pm 15\%$	M1	6 Nm
Anzugsdrehmoment für elektrische	terminal connection torque	Toleranz / tolerance $+5\% / -10\%$	M2	6 Nm
Gewicht	weight		G	typ. 300 g
Kriechstrecke	creepage distance			$12,5 \text{ mm}$
Schwingfestigkeit	vibration resistance	$f = 50\text{Hz}$		50 m/s^2
Kühlkörper / heatsinks : KM 11; KM 14; KM 17; KM 33				

Mit dieser technischen Information werden Halbleiterbauelemente spezifiziert, jedoch keine Eigenschaften zugesichert. Sie gilt in Verbindung mit den zugehörigen Technischen Erläuterungen. / This technical information specifies semiconductor devices but promises no characteristics. It is valid in combination with the belonging technical notes.

TD B6HK 205 N

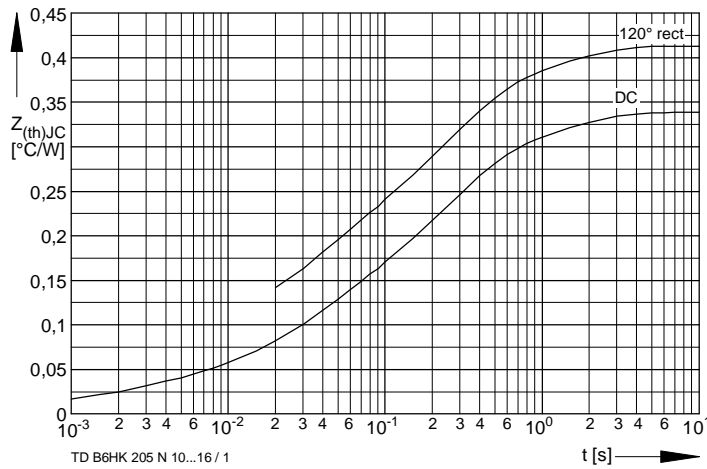


Bild / Fig. 1

Transienter innerer Wärmewiderstand je Zweig / Transient thermal impedance per arm $Z_{thJC} = f(t)$
Parameter: Stromflußwinkel / current conduction angle θ

Analytische Elemente des transienten Wärmewiderstandes Z_{thJC} pro Zweig für DC
Analytical elements of transient thermal impedance Z_{thJC} per arm for DC

Pos. n	1	2	3	4	5	6	7
$R_{thn} [^{\circ}\text{C}/\text{W}]$	0,15200	0,21100	0,02960				
$\tau_n [\text{s}]$	0,31800	0,03870	0,00109				

Analytische Funktion / Analytical function:

$$Z_{thJC} = \sum_{n=1}^{n_{\max}} R_{thn} \left(1 - e^{-\frac{t}{\tau_n}}\right)$$

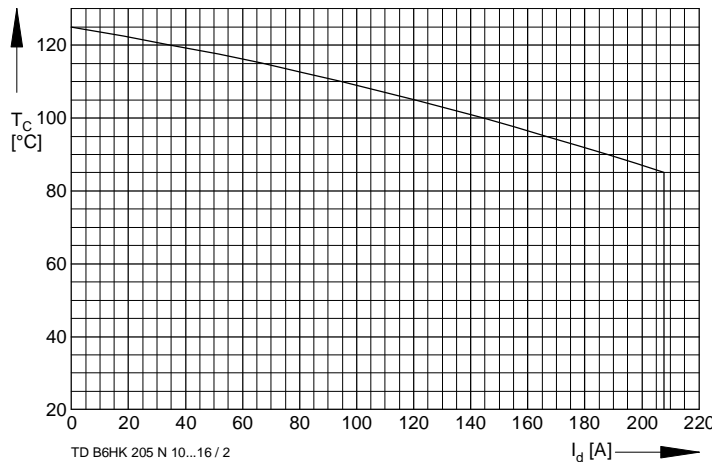


Bild / Fig. 2

Höchstzulässige Gehäusetemperatur / Max. allowable case temperature
 $T_C = f(I_d)$